



Systèmes dynamiques

# Temps d'instabilité pour les perturbations de systèmes intégrables analytiques

Jean-Pierre Marco

*Institut de mathématiques de Jussieu, 175, rue du Chevaleret, 75013 Paris, France*

Reçu le 28 septembre 2004 ; accepté le 12 décembre 2004

Disponible sur Internet le 22 janvier 2005

Présenté par Charles-Michel Marle

## Résumé

Pour  $n \in \mathbb{N}^*$  et  $R > 0$  on pose  $B_R^n = \{x \in \mathbb{R}^n \mid \|x\|_\infty < R\}$ . Soient  $n \geq 4$  et  $R > 1$ . On construit une suite  $(H_j)_{j \geq 0}$  de Hamiltoniens analytiques sur un voisinage complexe  $V$  de  $\mathbb{T}^n \times B_R^n$ , perturbations du Hamiltonien  $\tilde{h}(r) = \frac{1}{2}(r_1^2 + \dots + r_{n-1}^2) + r_n$ , qui possèdent des points pour lesquels le temps de dérive suivant les variables d'action est majoré par  $\exp(c(1/\varepsilon_j)^{1/2(n-3)})$ , où  $c > 0$  est une constante et  $\varepsilon_j = \|H_j - \tilde{h}\|_{C^0(V)}$ . Les orbites considérées passent près de résonances doubles, le résultat est donc presque optimal puisque l'exposant de stabilité pour de telles orbites est  $1/2(n-2)$ . **Pour citer cet article : J.-P. Marco, C. R. Acad. Sci. Paris, Ser. I 340 (2005).**

© 2005 Académie des sciences. Publié par Elsevier SAS. Tous droits réservés.

## Abstract

**Instability times for perturbations of integrable analytic systems.** For a positive integer  $n$  and  $R > 0$ , we set  $B_R^n = \{x \in \mathbb{R}^n \mid \|x\|_\infty < R\}$ . Given  $n \geq 4$  and  $R > 1$  we construct a sequence of analytic perturbations  $(H_j)$  of the completely integrable Hamiltonian  $\tilde{h}(r) = \frac{1}{2}(r_1^2 + \dots + r_{n-1}^2) + r_n$  on  $\mathbb{T}^n \times B_R^n$ , with unstable orbits for which we can estimate the time of drift in the action space. These functions  $H_j$  are analytic on a fixed complex neighborhood  $V$  of  $\mathbb{T}^n \times B_R^n$ , and if  $\varepsilon_j := \|H_j - \tilde{h}\|_{C^0(V)}$  the time of drift of these orbits is smaller than  $\exp(c(1/\varepsilon_j)^{1/2(n-3)})$  for a fixed constant  $c > 0$ . Our unstable orbits pass close to a doubly resonant surface, so the result is almost optimal since the stability exponent for such orbits is  $1/2(n-2)$ . **To cite this article: J.-P. Marco, C. R. Acad. Sci. Paris, Ser. I 340 (2005).**

© 2005 Académie des sciences. Publié par Elsevier SAS. Tous droits réservés.

Adresse e-mail : [marco@math.jussieu.fr](mailto:marco@math.jussieu.fr) (J.-P. Marco).

### Abridged English version

We denote by  $\mathbb{N}^*$  the set of positive integers. Given  $n \in \mathbb{N}^*$ , we set  $B_R^n = \{x \in \mathbb{R}^n \mid \|x\|_\infty < R\}$  (where  $\|\cdot\|_\infty$  stands for the Sup norm),  $\mathbb{T}^n = \mathbb{R}^n / \mathbb{Z}^n$  and  $\mathbb{A}^n = \mathbb{T}^n \times \mathbb{R}^n$ . We endow  $\mathbb{A}^n$  with the angle-action coordinates  $\theta = (\theta_1, \dots, \theta_n)$  in  $\mathbb{T}^n$ ,  $r = (r_1, \dots, r_n)$  in  $\mathbb{R}^n$ , and the usual symplectic form. We set  $h_{[n]}(r) = \frac{1}{2}(r_1^2 + \dots + r_n^2)$  and  $\tilde{h}_{[n]}(r) = (r_1^2 + \dots + r_{n-1}^2) + r_n$ . We denote by  $r(x)$  the action coordinate of a point  $x \in \mathbb{A}^n$ . If  $H$  is a Hamiltonian function on an open set of  $\mathbb{A}^n$ , we denote by  $\Phi^{tH}$  its (local) time  $t$  flow. Consider an integer  $n \geq 4$  and  $R \in ]1, +\infty[$ . The purpose of this Note is to sketch the construction of a sequence  $(H_j)_{j \geq 0}$  of analytic functions on a complex neighborhood  $V$  of  $\mathbb{T}^n \times B_R^n$ , such that  $\varepsilon_j := \|H_j - \tilde{h}\|_{C^0(V)} \rightarrow 0$  when  $j \rightarrow \infty$ , for which there exists for each  $j$  a point  $z^{(j)} \in \mathbb{A}^n$  and a time  $\tau_j$  satisfying  $\tau_j \leq \exp c(\frac{1}{\varepsilon_j})^{1/(2(n-3))}$  and  $\|r(\Phi^{\tau_j H_j}(z^{(j)})) - r(z^{(j)})\|_\infty = 1$ , where  $c$  is a positive constant. As the orbit of  $z^{(j)}$  passes close to double resonances, the usual estimates for the stability times yield lower bounds for the instability times of the form  $\tau_j \geq \exp c(1/\varepsilon_j)^{1/2(n-2)}$ , therefore our result is nearly optimal.

Our construction is an evolution of the approach we developed in [6] for Gevrey Hamiltonian functions, the main new difficulty is that we can no longer make use of compact supported functions. Our systems here are very close to those introduced in [5] in order to exhibit examples of hyperbolic tori with nearly optimal splitting.

We need three different steps in order to obtain the functions  $H_j$ . The first and main one is the construction of a sequence of analytic diffeomorphisms  $(\mathcal{F}_q)_{q \in \mathbb{N}}$  on  $\mathbb{A}^2$ , perturbations of the product map  $\mathcal{F}_* = \Phi^{\frac{1}{2}r_1^2 + \cos 2\pi\theta_1} \times \Phi^{\frac{1}{2}r_2^2}$ , for which we can prove the existence of wandering points and estimate their speed of drift. To this end the key idea is to use a shadowing lemma of Easton (see [1]). We already proved in [5] the existence of a transition chain for  $\mathcal{F}_q$ , formed by heteroclinically connected invariant circles  $(\mathcal{C}_k)_{k \in \mathbb{Z}}$ , defined by  $\mathcal{C}_k = \{(\theta_1, r_1) = (0, 0), r_2 = k/q\} \subset \mathbb{A}^2$ , for which the heteroclinic point  $\omega^{(q,k)} \in W^-(\mathcal{C}_{k-1}, \mathcal{F}_q) \cap W^+(\mathcal{C}_k, \mathcal{F}_q)$  is extremely close to  $(\theta_1 = \frac{1}{2}, r_1 = 2, \theta_2 = 0, r_2 = k/q)$ .

Here we construct a sequence of boxes  $(\tilde{\mathcal{D}}^{(q,k)})_{k \in \mathbb{Z}}$  (images of windows), with  $\tilde{\mathcal{D}}^{(q,k)}$  very near  $\omega^{(q,k)}$ , such that  $(\mathcal{F}_q)^q(\tilde{\mathcal{D}}^{(q,k)})$  intersects  $\tilde{\mathcal{D}}^{(q,k+1)}$  in a convenient way. Easton's lemma yields the existence of a point  $\zeta^{(q)}$  such that  $(\mathcal{F}_q)^{kq}(\zeta^{(q)})$  belongs to the box  $\tilde{\mathcal{D}}^{(q,k)}$  for each  $k \in \mathbb{Z}$ . So  $q^2$  iterations of  $\mathcal{F}_q$  make the  $r_2$ -coordinate of the point  $\zeta^{(q)}$  drift over an interval of length 1.

The next step is to use a coupling device, due to Herman, introduced in [6]. This enables us to construct a sequence of maps  $\Psi_j$  defined on the annulus  $\mathbb{A}^n$ ,  $n \geq 3$ , into which the previous dynamics may be embedded in a convenient way: the wandering points  $\zeta^{(q)}$  of  $\mathcal{F}_q$  give rise to wandering points  $z^{(j)}$  for  $\Psi_j$ , for which  $q_j^2$  iterations of  $\Psi_j$  produce a drift of length 1. The crucial remark is that these maps  $\Psi_j$  are now perturbations of the diffeomorphism  $\Phi^{h_{[n]}}$ , which is in action-angle form. The coupling technique is therefore used here as a key tool for passing from a priori unstable systems (that is with order one hyperbolicity) like  $\mathcal{F}_q$  to the a priori stable case, which is notoriously much more difficult. To be more precise, there exist a fixed complex neighborhood  $U$  of  $\mathbb{A}^n$  and a sequence  $N_j$  of integers tending to  $\infty$  such that  $\|\Psi_j - \Phi^h\|_{C^0(U)} \leq 1/N_j^2$ , and which satisfy the relation  $q_j^2 \leq \exp c N_j^{1/(n-2)}$ .

The final step is to go back to the Hamiltonian formalism. Thanks to the previous estimate on  $\Psi_j - \Phi^h$  one can use the analytic suspension theorem of Kuksin and Pöschel ([2]). This easily yields a sequence of analytic Hamiltonian functions  $(H_j)$ , defined on a fixed complex strip and perturbations of size  $1/N_j^2$  of  $h_{[n+1]}$ , such that the system generated by  $H_j$  possesses the previous diffeomorphism  $\Psi_j$  as a Poincaré return map for a suitable section, and the result follows (note the shift of one unit in the exponent).

### 1. Le résultat principal

Pour  $n \in \mathbb{N}^*$  on note  $\mathbb{T}^n = \mathbb{R}^n / \mathbb{Z}^n$ , et pour  $R > 0$  on pose  $B_R^n = \{x \in \mathbb{R}^n \mid \|x\|_\infty < R\}$  (où  $\|\cdot\|_\infty$  désigne la norme Sup). Si  $\rho > 0$ , on note  $V_\rho(\mathbb{T}^n \times B_R^n)$  le voisinage d'épaisseur  $\rho$  de  $\mathbb{T}^n \times B_R^n$  dans  $\mathbb{C}^n / \mathbb{Z}^n \times \mathbb{C}^n$ , pour

la distance produit. Sur l’anneau  $\mathbb{A}^n = \mathbb{T}^n \times \mathbb{R}^n$ , muni des coordonnées angles-actions  $\theta = (\theta_1, \dots, \theta_n) \in \mathbb{T}^n$ ,  $r = (r_1, \dots, r_n) \in \mathbb{R}^n$ , et de sa structure symplectique canonique, on introduit les Hamiltoniens  $h_{[n]}(r) = \frac{1}{2}(r_1^2 + \dots + r_n^2)$  et  $\tilde{h}_{[n]}(r) = (r_1^2 + \dots + r_{n-1}^2) + r_n$ . Si  $H$  est un Hamiltonien sur un ouvert de  $\mathbb{A}^n$ , on note  $\Phi^{tH}$  son flot (local) au temps  $t \in \mathbb{R}$ ; si  $x \in \mathbb{A}^n$ , on note  $r(x)$  sa coordonnée d’action. Cette note présente l’essentiel de la preuve du théorème suivant.

**Théorème 1.1.** *Soient  $n$  un entier  $\geq 4$  et  $R \in ]1, +\infty[$ . Il existe  $\rho > 0$  et une suite  $(H_j)_{j \geq 0}$  de fonctions analytiques sur  $V = V_\rho(\mathbb{T}^n \times B_R)$ , vérifiant  $\varepsilon_j := \|H_j - \tilde{h}_{[n]}\|_{C^0(V)} \rightarrow 0$  si  $j \rightarrow \infty$ , telle que pour tout  $j \geq 1$  il existe un point  $z^{(j)} \in \mathbb{A}^n$  et un instant  $\tau_j$  qui vérifient*

$$\tau_j \leq \exp c \left( \frac{1}{\varepsilon_j} \right)^{1/(2(n-3))}, \quad \|r(\Phi^{\tau_j H_j}(z^{(j)})) - r(z^{(j)})\|_\infty = 1,$$

où  $c$  est une constante positive.

Comme l’orbite du point  $z^{(j)}$  passe près de résonances doubles, les estimations classiques des temps de stabilité [4,7,6] donnent pour  $\tau_j$  une borne inférieure de la forme  $\tau_j \geq \exp c(1/\varepsilon_j)^{1/2(n-2)}$ , le théorème précédent est donc presque optimal.

On construira d’abord une famille de difféomorphismes de  $\mathbb{A}^n$ , perturbations de l’application intégrable  $\Phi^{h_{[n]}}$ , avec des points errants et des estimations de leur temps de dérive. On en déduira facilement le théorème par un procédé de suspension analytique. On trouvera dans [3] les preuves détaillées des résultats annoncés dans cette Note.

## 2. Une suite de difféomorphismes sur $\mathbb{A}^2$ avec des points errants

2.1. On introduit dans ce paragraphe une suite de difféomorphismes  $(\mathcal{F}_q)_{q \in \mathbb{N}}$  sur  $\mathbb{A}^2$ , pour lesquels on montrera l’existence de points errants par une méthode de fenêtres due à Easton, qui permettra de plus d’estimer leur vitesse. Ces difféomorphismes sont des perturbations de l’application

$$\mathcal{F}_* = \Phi^{\frac{1}{2}(r_1^2 + r_2^2) + \cos 2\pi \theta_1} = \Phi^{\frac{1}{2}r_1^2 + \cos 2\pi \theta_1} \times \Phi^{\frac{1}{2}r_2^2},$$

obtenues en composant  $\mathcal{F}_*$  par le temps 1 d’un Hamiltonien de petite norme analytique. On se donne une largeur d’analyticité  $\sigma > 0$ . Pour tout entier  $q$  on pose  $\mathcal{F}_q = \Phi^{\frac{1}{q}f^{(q)}} \circ \mathcal{F}_*$ , où  $f^{(q)}(\theta_1, \theta_2) = f_1^{(q)}(\theta_1)f_2(\theta_2)$ , avec

$$f_1^{(q)}(\theta_1) = (\sin \pi \theta_1)^{\nu_q}, \quad \nu_q = 2 \left\lceil \frac{|\text{Ln } q|}{4\pi \sigma} \right\rceil, \quad f_2(\theta_2) = -\frac{1}{\pi} \left( 2 + \sin 2\pi \left( \theta_2 + \frac{1}{6} \right) \right)$$

où  $\lceil \cdot \rceil$  désigne la partie entière. Comme  $\nu_q$  est pair la fonction  $f^{(q)}$  est bien définie sur  $\mathbb{T}$ , et on vérifie l’inégalité  $\|\frac{1}{q}f^{(q)}\|_{C^0(V_\sigma(\mathbb{A}^n))} \leq \frac{1}{\sqrt{q}}\|f_2\|_{C^0(V_\sigma(\mathbb{A}^n))}$ . Il en résulte en particulier que  $\mathcal{F}_q$  est bien une perturbation de  $\mathcal{F}_*$  en topologie analytique. Notons que  $f_1^{(q)}$ , et donc aussi  $f^{(q)}$ , ont un contact d’ordre  $\nu_q$  avec la fonction nulle sur la surface  $\{\theta_1 = 0\}$ , alors que  $f_1^{(q)}(\frac{1}{2}) = 1$  pour tout  $q$ . On renvoie à [5] pour une discussion sur le rôle de  $f_1^{(q)}$  et  $f_2$  dans la dynamique de  $\mathcal{F}_q$ . On choisit  $q_0$  tel que  $\nu_{q_0} \geq 3$  et on supposera partout  $q \geq q_0$ . La largeur  $\sigma$  sera choisie à la fin, pour simplifier les estimations.

2.2. Notons  $P(\theta_1, r_1) = \frac{1}{2}r_1^2 + \cos 2\pi \theta_1$  le Hamiltonien du pendule simple, et  $\mathcal{P} = \Phi^P$ . Le difféomorphisme  $\mathcal{F}_*$  est le produit de  $\mathcal{P}$  par l’application  $\Phi^{\frac{1}{2}r_2^2} : (\theta_2, r_2) \mapsto (\theta_2 + r_2, r_2)$ . On note  $O = (0, 0)$  le point fixe hyperbolique de  $\Phi^P$ . L’anneau  $\mathcal{A} = \{O\} \times \mathbb{A}$  est invariant et normalement hyperbolique pour  $\mathcal{F}_*$ .

Comme  $q \geq q_0$ ,  $\Phi^{\frac{1}{q} f^{(q)}}$  a un contact d'ordre  $\geq 2$  avec l'identité le long de  $\{\theta_1 = 0\}$ , donc  $\mathcal{F}_q$  et  $\mathcal{F}_*$  coïncident sur l'anneau  $\mathcal{A}$ , qui est encore invariant et normalement hyperbolique pour  $\mathcal{F}_q$ . Leur restriction à  $\mathcal{A}$  est l'application  $\Phi^{\frac{1}{2} r_2^2}$  (après identification canonique de  $\mathcal{A}$  à  $\mathbb{A}$ ), elle laisse invariant chaque cercle  $\mathcal{C}_{r_2^0} = \{(\theta_1, r_1) = O, r_2 = r_2^0\} \subset \mathcal{A}$ . Ces cercles  $\mathcal{C}_{r_2^0}$  sont partiellement hyperboliques pour  $\mathcal{F}_q$ , et les variétés  $W^\pm(\mathcal{C}_{r_2^0}, \mathcal{F}_q)$  sont analytiques et Lagrangiennes dans  $\mathbb{A}^2$ .

Pour un entier  $q$  donné, nous nous intéressons ici à la suite  $(\mathcal{C}_{k/q})_{k \in \mathbb{Z}}$ . On a montré dans [5] l'existence de points hétéroclines pour ces cercles : pour tout  $k$ , il existe un point  $\omega^{(q,k)}$  dans  $W^-(\mathcal{C}_{(k-1)/q}, \mathcal{F}_q) \cap W^-(\mathcal{C}_{k/q}, \mathcal{F}_q)$  très voisin de  $\varpi^{(q,k)} = (\theta_1 = \frac{1}{2}, r_1 = 2, \theta_2 = 0, r_2 = k/q)$ , au sens où il existe un entier  $\bar{q}$  et une constante  $\bar{d} \in ]0, 1[$  vérifiant  $\|\omega^{(q,k)} - \varpi^{(q,k)}\| \leq \bar{d}^{v_q}$  pour tous  $q \geq \bar{q}$  et  $k \in \mathbb{Z}$ . Les orbites instables que nous allons construire passent successivement très près de chacun de ces points hétéroclines.

2.3. Soit  $M$  une variété de classe  $C^1$  de dimension  $d$ , et soient  $d_h, d_v$  deux entiers positifs de somme  $d$ . Une  $(d_h, d_v)$ -fenêtre à valeurs dans  $M$  est un  $C^1$ -difféomorphisme de  $[-1, 1]^d \subset \mathbb{R}^d$  dans  $M$ . Si  $\mathcal{D}$  est une telle fenêtre, ses horizontales sont les applications partielles  $\mathcal{D}(\cdot, y_v)$ ,  $y_v \in [-1, 1]^{d_v}$ , et ses verticales les applications partielles  $\mathcal{D}(y_h, \cdot)$ ,  $y_h \in [-1, 1]^{d_h}$ ; on note enfin  $\tilde{\mathcal{D}} = \mathcal{D}([-1, 1]^d) \subset M$ . Si  $\mathcal{C}$  et  $\mathcal{D}$  sont deux  $(d_h, d_v)$ -fenêtres, on dit que  $\mathcal{C}$  est alignée sur  $\mathcal{D}$  lorsque pour tous  $y_h \in [-1, 1]^{d_h}$  et  $y_v \in [-1, 1]^{d_v}$ , la verticale  $\mathcal{C}(y_h, \cdot)$  et l'horizontale  $\mathcal{D}(\cdot, y_v)$  sont transverses en un unique point  $a$  vérifiant  $a = \mathcal{C}(y_h, x_v) = \mathcal{D}(x_h, y_v)$  avec  $x_h \in ]-1, 1[^{d_h}$  et  $x_v \in ]-1, 1[^{d_v}$ . Easton a montré dans [1] le lemme de l'ombre suivant.

**Lemme 2.1.** Soit  $\Phi$  un difféomorphisme  $C^1$  de  $M$ . On suppose qu'il existe une famille  $(\mathcal{D}_k)_{k \in \mathbb{Z}}$  de  $(d_h, d_v)$ -fenêtres à valeurs dans  $M$  telles que pour tout  $k \in \mathbb{Z}$ , la fenêtre  $\Phi \circ \mathcal{D}_k$  soit alignée sur  $\mathcal{D}_{k+1}$ . Alors il existe un point  $\zeta_0$  dans  $\tilde{\mathcal{D}}_0$  tel que  $\Phi^k(\zeta_0)$  soit dans l'image de la fenêtre  $\mathcal{D}_k$ , pour  $k \in \mathbb{Z}$ .

Nous pouvons maintenant énoncer le résultat principal de cette partie :

**Proposition 2.2.** Il existe  $q_0 \in \mathbb{N}$  et une constante  $d \in ]0, 1[$  tels que pour tout entier  $q \geq q_0$ , il existe une famille  $(\mathcal{D}^{(q,k)})_{k \in \mathbb{Z}}$  de  $(2, 2)$ -fenêtres à valeurs dans  $\mathbb{A}^2$ , avec  $\tilde{\mathcal{D}}^{(q,k)} \subset B_\infty(\varpi^{(q,k)}, d^{v_q})$ , telle que chaque fenêtre  $(\mathcal{F}_q)^q \circ \mathcal{D}^{(q,k)}$  soit alignée sur  $\mathcal{D}^{(q,k+1)}$ . Il existe donc un point  $\zeta^{(q)}$  dans l'image de  $\mathcal{D}^{(q,0)}$  tel que  $\|(\mathcal{F}_q)^{kq}(\zeta^{(q)}) - \varpi^{(q,k)}\| < d^{v_q}$  pour  $k \in \mathbb{Z}$ . En particulier,  $r_2((\mathcal{F}_q)^{q^2+1}(\zeta^{(q)})) - r_2(\zeta^{(q)}) \geq 1$ .

2.4. Esquisons la démonstration. Il est clair que si  $\Phi$  vérifie les hypothèses du lemme d'Easton, tout difféomorphisme  $\Psi$  assez proche de  $\Phi$  en norme  $C^1$  les vérifie encore. On va donc construire des fenêtres qui s'aligneront sous l'action d'une bonne approximation de  $(\mathcal{F}_q)^q$  en norme  $C^1$ .

On exploite d'abord la forme particulière de la fonction  $f_1^{(q)}$  en introduisant une nouvelle fonction  $\tilde{f}_1^{(q)}$  de classe  $C^\infty$ , nulle sur l'ensemble  $\{|\theta_1| < \frac{1}{8}\}$ , égale à  $f_1^{(q)}$  pour  $\{|\theta_1 - \frac{1}{2}| < \frac{1}{8}\}$ , et arbitrairement prolongée en une fonction  $C^\infty$  dans le complémentaire. On note  $\tilde{f}^{(q)} = \tilde{f}_1^{(q)} \otimes f_2$  et  $\tilde{\mathcal{F}}_q$  le difféomorphisme obtenu en remplaçant  $f^{(q)}$  par  $\tilde{f}^{(q)}$  dans l'expression de  $\mathcal{F}_q$ . Nous allons définir des domaines qui permettent d'exploiter cette approximation.

Dans l'ouvert  $\mathcal{E} = \{|\theta_1| < 1, r_1 > 2|\sin \pi \theta_1|\}$  situé au-dessus de la séparatrice, introduisons les coordonnées temps-énergie  $(\tau, h)$  du pendule. Pour  $(\theta_1, r_1) \in \mathcal{E}$ , on pose  $h = P(\theta_1, r_1)$  et on définit  $\tau$  par  $\Phi^{-\tau P}(\theta_1, r_1) \in \{\theta_1 = \frac{1}{2}\}$ . Pour  $h > 1$  donné on note  $T(h)$  la période de la solution d'énergie  $h$  du pendule, et on note  $H = T^{-1}$  l'inverse de la fonction ainsi définie. Pour  $q \in \mathbb{N}^*$  on pose  $h^{(q)} = H(q)$  et  $T'_q = T'(h^{(q)})$ . Fixons  $d \in ]0, 1[$  (dont le choix sera précisé dans la suite), et notons  $R_*^{(q)}$  le quadrilatère enveloppe convexe des points  $A_1 = (-d^{v_q}, h^{(q)} - 2d^{v_q}/T'_q)$ ,  $A_2 = (d^{v_q}, h^{(q)})$ ,  $A_3 = (d^{v_q}, h^{(q)} + 2d^{v_q}/T'_q)$ , et  $A_4 = (-d^{v_q}, h^{(q)})$ . Notons que cet ensemble est extrêmement mince et presque horizontal, puisqu'on sait que  $T'_q \sim \frac{1}{2\pi} \exp(2\pi q)$  lorsque  $q \rightarrow \infty$  (la Fig. 1 est

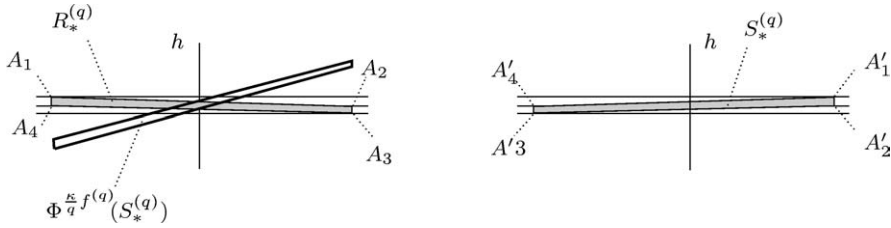


Fig. 1. Les domaines  $R_*^{(q)}$ ,  $\Phi^{\frac{1}{q} f^{(q)}}(S_*^{(q)})$  et  $S_*^{(q)}$ .

donc loin d’être à l’échelle). On introduit enfin le point  $a^{(q)} = (0, h^{(q)})$  dans les coordonnées  $(\tau, h)$ , et on pose  $\bar{\omega}^{(q,k)} = a^{(q)} \times (0, \frac{k}{q}) \in \mathbb{A}^2$ .

Posons  $\mathcal{R}_* = R_*^{(q)} \times \mathbb{A}$ . On vérifie que la restriction de  $(\bar{\mathcal{F}}_q)^q$  à  $\mathcal{R}_*$  s’écrit simplement  $\Phi^{\frac{1}{q} \bar{f}^{(q)}} \circ \mathcal{F}_*^q$ , et nous allons simplifier encore et remplacer  $(\bar{\mathcal{F}}_q)^q$  par son jet d’ordre 1 au point  $\bar{\omega}^{(q,k)}$ . On vérifie que

$$J_{\bar{\omega}^{(q,k)}}^1(\Phi^{\frac{1}{q} \bar{f}^{(q)}} \circ \mathcal{F}_*^q) = [J_{a^{(q)}}^1(\Phi^{\frac{f_2(0)}{q} \bar{f}_1^{(q)}} \circ \mathcal{P}^q)] \times [J_{(0,k/q)}^1(\Phi^{\frac{1}{q} f_2} \circ (\Phi^{\frac{1}{2} r_2^2})^q)].$$

Les fenêtres que nous allons définir seront donc aussi des produits. Commençons par le second facteur, et notons  $\mathcal{S}_q = \Phi^{\frac{1}{q} f_2} \circ (\Phi^{\frac{1}{2} r_2^2})^q$ . Si  $\sigma_q(\theta_2, r_2) = (\theta_2, qr_2)$ , on vérifie la relation de conjugaison  $\mathcal{S}_q = \sigma_q^{-1} \circ \mathcal{S}_1 \circ \sigma_q$ , et les jets sont donc aussi conjugués par  $\sigma_q$ . On vérifie aussi que la dérivée en  $(0, k/q)$  de  $\mathcal{S}_1$  possède deux valeurs propres réelles négatives  $\lambda_{\pm}$  vérifiant  $|\lambda_+| < 1 < |\lambda_-|$ , on note  $e_{\pm}$  deux vecteurs propres associés. Alors  $e_{\pm}^{(q)} = \sigma_q^{-1}(e_{\pm})$  sont deux vecteurs propres de  $\mathcal{S}_q$  associés aux mêmes valeurs propres. On introduit la fenêtre linéaire définie par

$$\mathcal{D}_2^{(q,k)}(x^{(h)}, x^{(v)}) = \left(0, \frac{k}{q}\right) + d^{v_q}(x^{(h)} e_+ + x^{(v)} e_-), \quad (x^{(h)}, x^{(v)}) \in [-1, 1]^2,$$

il est clair que la fenêtre  $[J_{(0,k/q)}^1(\mathcal{S}_q)] \circ \mathcal{D}_2^{(q,k)}$  est alignée sur  $\mathcal{D}_2^{(q,k+1)}$ .

Passons maintenant au premier facteur. On introduit la  $(1, 1)$ -fenêtre  $\mathcal{D}_1^{(q)}$  définie par  $\mathcal{D}_1^{(q)}(x) := (x^{(h)} d^{v_q}, h^{(q)} + (x^{(h)} - x^{(v)})d^{v_q}/T_q')$ ,  $(x^{(h)}, x^{(v)}) \in [-1, 1]^2$ , dont l’image est le quadrilatère  $R_*^{(q)}$ . L’image de la fenêtre composée  $J_{a^{(q)}}^1(\mathcal{P}^q) \circ \mathcal{D}_1^{(q)}$  est l’enveloppe convexe des points  $A'_1 = (d^{v_q}, h^{(q)} - 2d^{v_q}/T_q')$ ,  $A'_2 = (d^{v_q}, h^{(q)})$ ,  $A'_3 = (-d^{v_q}, h^{(q)} + 2d^{v_q}/T_q')$ , et  $A'_4 = (-d^{v_q}, h^{(q)})$ , et les images de ses verticales sont maintenant presque parallèles à l’axe des  $\tau$ . Notons  $\kappa = f_2(0) < 0$ . L’effet de  $J_{a^{(q)}}^1(\Phi^{\frac{\kappa}{q} \bar{f}_1^{(q)}})$  est ensuite de « tourner l’axe horizontal » d’un angle de tangente  $-\kappa v_q/q$  dans les coordonnées  $(\tau, e)$ . Il est alors clair que la fenêtre composée  $[J_{a^{(q)}}^1(\Phi^{\frac{\kappa}{q} \bar{f}_1^{(q)}} \circ \mathcal{P}^q)] \circ \mathcal{D}_1^{(q)}$  est alignée sur  $\mathcal{D}_1^{(q)}$ .

Revenons au système total. Il résulte facilement de la construction précédente que la composée par l’application  $J_{\bar{\omega}^{(q,k)}}^1(\Phi^{\frac{1}{q} \bar{f}^{(q)}} \circ \mathcal{F}_*^q)$  de la fenêtre  $\mathcal{D}^{(q,k)} = \mathcal{D}_1^{(q)} \times \mathcal{D}_2^{(q,k)}$  est alignée sur  $\mathcal{D}^{(q,k+1)}$ . Comme le choix d’une largeur d’analyticité  $\sigma$  assez petite permet de négliger les termes  $d^{v_q}$  par rapport à  $1/q$ , et comme les termes d’ordre  $\geq 2$  que nous avons négligés en considérant les parties affines sont de norme  $C^1$  majorée par  $d^{2v_q}$ , on peut montrer que  $(\bar{\mathcal{F}}_q)^q \circ \mathcal{D}^{(q,k)}$  est encore alignée sur  $\mathcal{D}^{(q,k+1)}$  pour  $\sigma$  bien choisi.

Il faut enfin justifier la validité de l’approximation de  $(\mathcal{F}_q)^q$  par  $(\bar{\mathcal{F}}_q)^q$ . Pour cela on utilise un théorème de conjugaison à la Sternberg au voisinage de la variété normalement hyperbolique  $\mathcal{A}$ . On montre que les applications  $\mathcal{F}_q$  et  $\mathcal{F}_*$  sont  $C^2$ -conjuguées dans un voisinage de  $\mathcal{A}$ , indépendant de  $q$ , au moyen d’un difféomorphisme dont l’écart à l’identité est en norme  $C^2$  majorée par  $\hat{c}^{v_q}$ , où  $\hat{c} \in ]0, 1[$  est une constante bien choisie. En transportant cette conjugaison au voisinage des domaines précédents, on voit que les applications  $\mathcal{F}_* \circ (\mathcal{F}_q)^{q-1}$  et  $(\mathcal{F}_*)^q$  y sont conjuguées par deux difféomorphismes dont l’écart à l’identité en norme  $C^2$  est encore d’ordre  $c^{v_q}$ , où  $c \in ]\hat{c}, 1[$ . Il suffit alors de choisir la constante  $d$  précédente dans l’intervalle  $]c, 1[$  pour conclure que  $(\mathcal{F}_q)^q \circ \mathcal{D}^{(q,k)}$  est alignée sur  $\mathcal{D}^{(q,k+1)}$ .

### 3. Couplage, difféomorphismes sur $\mathbb{A}^n$ et suspension

Dans cette section, on plonge la dynamique précédente dans une famille de perturbations de  $\Phi^{\frac{1}{2}r^2}$ , tout en conservant ses points errants et les estimations sur leur temps de dérive. La clef de la construction est un lemme de couplage très simple, introduit et démontré dans [6].

**Lemme 3.1.** *Soient  $m$  et  $m'$  deux entiers  $\geq 1$ . Soient deux difféomorphismes  $F$  et  $G$  de  $\mathbb{A}^m$  et  $\mathbb{A}^{m'}$  respectivement, et un point  $a \in \mathbb{A}^{m'}$   $N$ -periodique pour  $G$ . Soient  $f : \mathbb{A}^m \rightarrow \mathbb{R}$  et  $g : \mathbb{A}^{m'} \rightarrow \mathbb{R}$  deux Hamiltoniens définissant des champs de vecteurs complets. On suppose que  $g$  vérifie les conditions de synchronisation suivantes  $g(a) = 1$ ;  $g(G^k(a)) = 0$ ,  $1 \leq k \leq N - 1$ ;  $dg(G^k(a)) = 0$ ,  $0 \leq k \leq N$ . Alors, si  $\Psi = F \times G$ , on a l'égalité  $\Psi^N(x, a) = (\Phi^f \circ F^N(x), a)$  pour tout  $x \in \mathbb{A}$ .*

On note  $(p_j)_{j \geq 1}$  la suite des entiers premiers consécutifs, et on pose  $N_j = p_{j-(n-3)} p_{j-(n-4)} \cdots p_j$ . On utilisera une suite d'entiers  $q_j$  définis par  $q_j = N_j^4 [1 + \exp 4\pi\sigma(n-2)p_j]^2$ . On va appliquer le lemme de couplage aux difféomorphismes  $F = \Phi^{\frac{1}{2}(r_1^2+r_2^2)+(1/N_j^2)\cos 2\pi\theta_1}$  et  $G = \Phi^{\frac{1}{2}(r_3^2+\dots+r_n^2)}$ , de  $\mathbb{A}^2$  et  $\mathbb{A}^{n-2}$  respectivement, avec  $N = N_j$ , le rôle de  $f$  étant joué par la fonction  $\frac{1}{q_j} f^{(q_j)}$ . Le point  $N_j$ -periodique sur  $\mathbb{A}^{n-2}$  sera  $a^{(j)} = (0, \hat{r}^{(j)})$  avec  $\hat{r}^{(j)} = (1/p_{j-(n-3)}, \dots, 1/p_j)$ . Il reste donc à construire une fonction  $g^{(j)}$  qui vérifie les conditions de synchronisation du lemme. Pour cela, comme dans [6], on introduit pour chaque entier  $p \geq 1$  la fonction analytique  $\eta_p : \mathbb{T} \rightarrow \mathbb{R}$  définie par  $\eta_p(\theta) = (\frac{1}{p} \sum_{\ell=0}^{p-1} \cos 2\pi \ell \theta)^2$  et on pose ensuite  $g^{(j)}(\theta_3, \dots, \theta_n) = g_3^{(j)}(\theta_3) \cdots g_n^{(j)}(\theta_n)$ , avec  $g_i^{(j)}(\theta_i) = \eta_{p_{j-(n-i)}}(\theta_i)$  pour  $3 \leq i \leq n$ . On voit facilement que  $g^{(j)}$  vérifie les conditions du lemme pour  $a^{(j)}$ , et que sa norme analytique vérifie  $\|g^{(j)}\|_{C^0(V_\sigma(\mathbb{A}^n))} \leq e^{4\pi\sigma(n-2)p_j}$ .

Posons maintenant  $\Psi_j = \Phi^{(1/q_j)S^{(j)}} \circ \Phi^{\frac{1}{2}(r_1^2+\dots+r_n^2)+(1/N_j^2)\cos 2\pi\theta_1}$  avec  $S^{(j)} = f^{(q_j)} \otimes g^{(j)}$ . Le lemme de couplage montre immédiatement que la sous-variété  $\mathcal{V}^{(j)} = \mathbb{A}^2 \times \{a^{(j)}\}$  est invariante par  $(\Psi_j)^{N_j}$ , et que la restriction  $\Phi_j$  de  $(\Psi_j)^{N_j}$  à  $\mathcal{V}^{(j)}$  vérifie  $\Phi_j = \Phi^{(1/q_j)f^{(q_j)}} \circ (\Phi^{\frac{1}{2}(r_1^2+r_2^2)+(1/N_j^2)\cos 2\pi\theta_1})_{N_j}$ .

Si maintenant on note  $\sigma_N$  l'homothétie  $(\theta_1, \theta_2, r_1, r_2) \mapsto (\theta_1, \theta_2, Nr_1, Nr_2)$  sur  $\mathbb{A}^2$ , il est facile de montrer que  $\Phi_j$  et  $\mathcal{F}_{q_j/N_j}$  sont conjugués par  $\sigma_{N_j} : \Phi_j = \sigma_{N_j}^{-1} \circ \mathcal{F}_{q_j/N_j} \circ \sigma_{N_j}$ . On en déduit que l'action  $r_2$  du point  $u^{(j)} = \sigma_{N_j}^{-1}(\zeta^{(q_j/N_j)})$  subit une dérive d'ordre 1 après  $q_j^2/N_j$  itérations de  $\Phi_j$ . L'action  $r_2$  du point  $z^{(j)} = (u^{(j)}, a^{(j)}) \in \mathbb{A}^n$  subit donc la même dérive sous l'action de  $q_j^2$  itérations de  $\Psi_j$ . De plus, les estimations (1) et (2) entraînent  $\|\frac{1}{q_j} S^{(j)}\|_{C^0(V_\sigma(\mathbb{A}^n))} \leq 1/N_j^2$ . On en déduit facilement que  $\|\Psi_j - \Phi^{\frac{1}{2}r^2}\|_{C^0(V_{\sigma'}(\mathbb{A}^n))} \leq 1/N_j^2$  pour  $\sigma'$  assez petit, et le lemme de suspension analytique de [2] montre alors l'existence d'un Hamiltonien  $H_j$  sur  $\mathbb{A}^{n+1}$  vérifiant les hypothèses du théorème, analytique sur  $V_\rho$ , pour un  $\rho < \sigma'$  bien choisi.

### Références

- [1] R. Easton, R. McGehee, Homoclinic phenomena for orbits doubly asymptotic to an invariant three-sphere, *Indiana Univ. Math. J.* 28 (2) (1979).
- [2] S. Kuksin, J. Pöschel, On the inclusion of analytic symplectic maps in analytic Hamiltonian flows and its applications, in: *Seminar on Dynamical Systems* (St. Petersburg, 1991), in: *Progr. Nonlinear Differential Equations Appl.*, vol. 12, Birkhäuser, Basel, 1994, pp. 96–116.
- [3] P. Lochak, J.-P. Marco, Diffusion times and stability exponents for nearly-integrable analytic systems, soumis aux CEMJ.
- [4] P. Lochak, A.I. Neishtadt, Estimates in the theorem of N.N. Nekhorocheff for systems with a quasi-convex Hamiltonian, *Chaos* 2 (1992) 495–499.
- [5] J.-P. Marco, Uniform lower bounds of the splitting for analytic symplectic systems, soumis aux *Ann. Inst. Fourier*.
- [6] J.-P. Marco, D. Sauzin, Stability and instability for Gevrey quasi-convex near-integrable Hamiltonian systems, *Publ. Math. I.H.E.S.* 96 (2003).
- [7] J. Pöschel, Nekhoroshev estimates for quasi-convex Hamiltonian systems, *Math. Z.* 213 (1993) 187–216.